

همسانه‌سازی cDNA و بررسی بیان ژن، خصوصیات فیزیکوشیمیایی و ساختارهای عملکردی آنزیم‌های بتاگالاكتوزیداز در میوه گوجه‌فرنگی (*Lycopersicum esculentum* cv. Falcato)

cDNA Cloning and Investigating Gene Expression, Physicochemical Characteristics and Functional Structures of β -galactosidase Enzymes of Tomato Fruit (*Lycopersicum esculentum* cv. Falcato)

علیرضا قنادسیزواری^۱ و رامین حسینی^{*۲}

تاریخ پذیرش: ۹۲/۰۹/۲۷

تاریخ دریافت: ۹۱/۱۲/۰۶

چکیده

بتاگالاكتوزیدازها در بسیاری از فرآیندهای مرتبط با رشدونمو گیاه شرکت نموده و به عنوان آنزیم‌های کلیدی در نرمی وابسته به رسیدگی میوه‌های گوشتی معرفی شده‌اند. در این مطالعه، طول کامل شش cDNA ای رمزکننده آنزیم‌های بتاگالاكتوزیداز (نام‌گذاری شده ۷-7 (*STBG2-7*) از بافت میوه گوجه‌فرنگی رقم فالکاتو (Falcato) همسانه‌سازی و سطوح بیان و توالی اسید‌آمینه مربوط به آنها بررسی گردیدند. با هم‌ردیفی توالی‌های پروتئینی منتج از *STBG2-7*، دو نیمه بسیار حفاظت‌شده و کم حفاظت‌شده در این آنزیم‌ها شناسایی گردیده و براساس خصوصیات نیمه‌های کم حفاظت‌شده و یافته‌های آزمایش‌های اخیر پیشنهاد گردید که عملکردهای افتراقی این آیزوفرم‌ها مرتبط با این نیمه‌های کم حفاظت‌شده می‌باشند، که این نیمه‌های کم حفاظت‌شده با زیرواحدهای کوچک بتاگالاكتوزیدازهای هترودایمر متناظر می‌باشند و با دو باقیمانده Trp و Glu کاملاً حفاظت‌شده آغاز می‌گردند.

واژه‌های کلیدی: PCR نیمه‌کمی، تکیک RACE، دمین‌لکتین، پروتئین

۱. کارشناس ارشد گروه بیوتکنولوژی کشاورزی، دانشکده فنی و مهندسی، دانشگاه بین‌المللی امام خمینی(ره)، قزوین
۲. استادیار بیوتکنولوژی کشاورزی، دانشکده فنی و مهندسی، دانشگاه بین‌المللی امام خمینی(ره)، قزوین
*: نویسنده مسؤول Email: raminh_2001@yahoo.com

این مقاله خلاصه‌ای از پایان‌نامه کارشناسی ارشد نویسنده نخست می‌باشد که با راهنمایی نویسنده دوم در دانشگاه بین‌المللی امام خمینی(ره) قزوین به انجام رسیده است.

مقدمه

بتاگالاكتوزیدازها (EC3.2.1.23) خانواده‌ای وسیع از گلایکوزیل هیدرولازها هستند که قادرند باقیمانده‌های بتا-دی-گالاكتوزیل انتهایی را از پلیمرهای بتا-دی-گالاكتوزید هیدرولیز نمایند موانیکی و همکاران (Mwaniki *et al.*, 2005) گلایکوزیل هیدرولازها براساس شباهت‌های ساختاری به خانواده‌های تقسیم‌بندی شده‌اند هنریست (Henrissat, 1991) که از این میان خانواده‌های ۱، ۲، ۳۵ و ۴۲ به بتاگالاكتوزیدازها تعلق دارند و براساس شباهت‌های توالي اسید‌آmine، بتاگالاكتوزیدازهای گیاهی متعلق به خانواده ۳۵ با جایگاه G-G-P-[LIVM]-x-x-Q-x-E-N-E-[FY] (Henrissat and Bairoch, 1993) می‌باشند هنریست (1998)، هنریست و باپروج (Bairoch, 1993).

براساس نوع عملکرد، بتاگالاكتوزیدازهای گیاهی را می‌توان دست کم به دو زیرگروه تقسیم نمود. زیرگروه I آنزیم‌هایی با خصوصیات اگزو-بتا-گالاكتانازی هستند که به طور ویژه اتصالات بتا-(۱-۴)-گالاكتان را هدف قرار می‌دهند و نشان داده‌اند که در هیدرولیز پکتین‌ها و اگزیلوگلوكان‌ها نقش دارند. زیرگروه II آنزیم‌هایی با توائی زیرگروه پنیتروفنیل-بتا-گالاكتوزید و اتصالات بتا-(۱-۳) و بتا-(۱-۶) باقیمانده‌های گالاكتوزید هستند و نشان داده‌اند که در هیدرولیز زنجیره‌های هیدرات‌کربنی پروتئین‌هایی نظیر آرابینوگالاكتان شرکت دارند کری و همکاران، کوتیک و همکاران، ایگلکزیپاس و همکاران، Carey *et al.*, 1995, Kotake *et al.*, 2005, Iglesias *et al.*, 2006, Tanthanuch *et al.*, 2008 تانتاناج و همکاران (2005), استبان و همکاران (2002), Smith *et al.*, 2003, Smith *et al.*, 2002 اگرچه عملکردهای متفاوت اعضای خانواده بتاگالاكتوزیداز در بسیاری از گیاهان مشاهده شده است استبان و همکاران (2005)، موانیکی و همکاران (2005)، تاثی و همکاران (2007) اما این مهم که چه خصوصیتی در این آیزوفرم‌ها سبب گزینش سوبستراپی متفاوت و در نتیجه بروز عملکردی متفاوت می‌شود هنوز در پرده‌ای از ابهام باقی مانده است.

در این مطالعه توالي کامل شش cDNA رمزکننده آنزیم‌های بتاگالاكتوزیداز در گوجه‌فرنگی رقم فالکاتو، که یک رقم گلخانه‌ای رایج در ایران می‌باشد، همسانه‌سازی گردید و سطوح بیان و توالي اسید‌آmine مربوط به آنها با آیزوفرم‌های متناظرشان در رقم روتگرس مقایسه و تفاوت‌ها مورد بررسی قرار گرفت.

مواد و روش‌ها

مواد گیاهی و جداسازی RNA کل

تعداد ۹ نمونه از بافت میوه گیاه گوجه‌فرنگی (*Lycopersicum esculentum* L. cv. Falcato)، شامل سه تکرار از سه مرحله رشدی ۱۰ روز پس از گرده‌افشانی (10dpp)، آغاز تغییر رنگ از سبز به قرمز (Turning) و قرمز رسیده (Red-ripe)، از سه

همسانه‌سازی طول کامل cDNA

براساس توالی‌های انتهایی^۵ ناچیه رمزکننده هفت cDNA بتاگالاکتوزیداز در گوجه‌فرنگی رقم روتگرس (با نام‌های AF154420، AF023847 و شماره‌های دست‌یابی TBG1-7 و AF154421، AF154423، AF020390، AF154424 و AF154422 در بانک ژن NCBI) آغازگرهای اختصاصی ژن-های بتاگالاکتوزیداز طراحی گردیدند. به انتهایی^۵ هر آغازگر، توالی یک جایگاه شناسایی آنزیم برشی و^۴ تا ۵ نوکلئوتید اضافی افزوده گردید (جدول ۱). مخلوط واکنش در حجم نهایی mM ۵۰ حاوی (pH: ۸/۸) dNTP ۰/۱ mg/ml BSA، ۰/۱ mM Tris-HCl، ۰/۱ mM MgSO₄، ۰/۱ mM KCl، ۰/۱ mM Triton X-۱۰، ۰/۱ mM (NH₄)_۲SO_۴، ۰/۱ pM Pfu DNA polymerase و ۰/۱ آب از هر آغازگر (رفت و برگشت)، ۱۰۰ ng cDNA آمده از میوه‌های dpp ۱۰ و ۱/۲۵ واحد از آنزیم Pfu DNA polymerase مورد استفاده قرار گرفت. واکنش زنجیره‌ای پلیمراز توسط یک دستگاه ترموسایکلر Techne-TC512 (انگلستان) با برنامه دمایی به شرح ذیل انجام شد. یک مرحله واسرشتگی اولیه در دمای ۹۴ °C به مدت ۳ دقیقه، ۳۵ چرخه شامل مراحل واسرشتگی در دمای ۹۴ °C به مدت ۳۰ ثانیه، اتصال در دمای مناسب (جدول ۱) به مدت ۳۰ ثانیه و تکثیر در دمای ۷۲ °C به مدت ۱/۵ دقیقه، و یک مرحله تکثیر نهایی در دمای ۷۲ °C به مدت ۱۰ دقیقه. محصولات RT-PCR روی ژل آگارز ۷٪/۰.۷٪ الکتروفورز گردیدند. سپس قطعات تکثیرشده با طول موردنظر (جدول ۱) از ژل بریده شده و با استفاده از طول موردنظر (خالص‌سازی شده و ناقل پلاسمیدی AccuPrep Gel Purification Kit (Bioneer) توسط آنزیم‌های برشی (Fermentas) مربوطه (جدول ۱) هضم گردیدند و واکنش اتصال با استفاده از آنزیم T4 لیگاز (Fermentas) انجام گرفت. محصولات واکنش به طور مستقیم و با استفاده از روش شوک حرارتی برای تراویختی سلول‌های مستعد باکتری *Escherichia coli* سویه DH5α مورد استفاده قرار گرفتند. سلول‌های تراویخته E. coli روی محیط‌کشت جامد SOB آغشته به آنتی‌بیوتیک آمپی-سیلین، IPTG و X-gal غربال شدند و پلاسمیدهای نوترکیب با استفاده از روش محلول قلیایی و SDS بیرون بویم و دولای Birnboim and Doly 1979) از سلول‌های تراویخته استخراج گردیدند. سپس محصولات RT-PCR همسانه‌سازی شده، با روش توالی‌یابی Dideoxynucleotide Sequence Laboratories آلمان توالی‌یابی شدند. همچنین، توالی‌های غیررمزکننده در پایانه‌های این

بوته جمع‌آوری گردیدند. نمونه‌ها بلافارسله پس از جداسازی میوه از گیاه، در اندازه‌های کوچک بریده و پس از بسته‌بندی با فویل آلومینیوم در نیتروژن مایع انداخته شدند و سپس به فریزر ۸۰ °C-منتقل گردیدند. به منظور استخراج RNA، بافر استخراج mM ۰/۱ SDS، ۰/۱ M LiCl، ۰/۱ M Tris-HCl pH=۸، ۰/۱ EDTA، آب ۸۰ °C قرار داده شد. سپس به هر تیوب ۲ ml، حدود ۰/۱ گرم بافت پودر شده منجمد و ۰/۱ ۹۰۰ μl بافر استخراج اضافه گردید و تیوب‌ها به مدت ۱ دقیقه ورتكس شدند. به هر تیوب ۰/۱ ۴۰۰ μl فنول اسیدی (pH: ۴/۵) و ۰/۱ ۵۰۰ μl کلروفرم؛ ایزوآمیل-الکل (۲۴ : ۱) افزوده شد. تیوب‌ها به مدت ۱ دقیقه ورتكس و سپس به مدت ۱۵ دقیقه با سرعت ۱۴۰۰۰ دور در دقیقه، در ۴ °C سانتریفیوژ شدند. فاز رویی به تیوب جدید منتقل و هم حجم آن، کلروفرم؛ ایزوآمیل-الکل (۲۴ : ۱) افزوده گردید. سپس تیوب‌ها ورتكس و به مدت ۱۰ دقیقه با سرعت ۱۴۰۰۰ دور در دقیقه، در ۴ °C سانتریفیوژ شدند. مجدداً فاز رویی به تیوب جدید منتقل و به هر تیوب ۰/۳ ml حجم، لیتیوم کلراید M ۸ اضافه گردید. سپس تیوب‌ها به مدت ۲۰ دقیقه در ۸۰ °C- قرار داده و پس از آن به مدت ۲۰ دقیقه با سرعت ۱۴۰۰۰ دور در دقیقه، در ۴ °C سانتریفیوژ شدند. رسوب حاصل اتانول خالص افزوده و به مدت ۳۰ دقیقه در ۸۰ °C- قرار داده شد. پس از آن تیوب‌ها به مدت ۲۰ دقیقه و با سرعت ۱۴۰۰۰ دور در دقیقه، در ۴ °C سانتریفیوژ شدند. رسوب حاصل توسط اتانول (v/v) ۷۰٪ شستشو و سپس در ۰/۱ ml آب م قطر استریل عاری از RNase حل و در دمای ۸۰ °C- نگهداری گردید.

cDNA سنتز رشته نخست

ابتدا ۵ μg از محلول RNA کل به همراه ۰/۵ μg Oligo(dT)_{۱۸} تیمار و سپس بر روی یخ قرار داده شد. در ادامه، ۰/۱ ml ۴ بافر واکنش X ۰/۱ ml ۵X مخلوط (۱۰ mM dNTP) و ۰/۱ ml آنزیم نسخه بردار معکوس (M-MuLV ۲۰ u/ml)، به هر تیوب ۶۰ دقیقه در دمای ۴۲ °C تیمار گردید. در نهایت غیرفعال‌سازی آنزیم نسخه بردار معکوس در دمای ۷۰ °C به مدت ۱۰ دقیقه صورت گرفت.

بررسی الگوی بیان زمانی آیزوفرم‌های بتاگالاکتوزیداز سطوح بیان آیزوفرم‌های بتاگالاکتوزیداز در مراحل مختلف رشد میوه، با به کارگیری تکنیک RT-PCR نیمه‌کمی بررسی گردیدند. به این منظور رشته‌های نخست cDNA با به کارگیری dppRNA‌های به دست آمده از سه مرحله رشدی میوه شامل PCR با به-Turning و Red-ripe تهیه گردیدند. سپس ۱۰ کارگیری آغازگرهای اختصاصی زن‌های بتاگالاکتوزیداز (جدول ۱) و کیت PCR Master Mix 2X (Fermentas) اجرا گردید. همچنین آغازگرهای اختصاصی زن اکتین گوجه‌فرنگی (شماره دستیابی SLU60482)، به عنوان یک زن مرجع برای نرمال-سازی بیان زن‌های بتاگالاکتوزیداز، در PCR مورد استفاده قرار گرفتند (جدول ۱). پنج میکرولیتر از محصولات RT-PCR روی ژل آگارز ۱/۲٪ الکتروفورز و با غوطه‌ورسازی در محلول اتیدیوم-بروماید (۱ µg/ml) به مدت ۲۰ دقیقه رنگ‌آمیزی شدند. سپس شدت باندهای حاصله با به کارگیری نرم‌افزار ImageJ (W.S. Rasband; 1997-2007; National Institutes of Health; <http://rsb.info.nih.gov/ij>) سازی بیان زن‌های بتاگالاکتوزیداز نسبت به زن اکتین صورت گرفت.

cDNAهای کلون شده، از طریق تکثیر سریع دو انتهای cDNA (RACE) با به کارگیری آغازگرهای اختصاصی زن‌ها، شامل RSTBG3، RSTBG3، RSTBG2، RSTBG2، RSTBG5، RSTBG5، RSTBG4، RSTBG4، RSTBG7، RSTBG7، RSTBG6، RSTBG6 با توالی‌های ACCAGAAATGCACCTGCAGTGTGAC، CTCGATGACATCTGCACCACCTTC، CGTGCCTCCTGGTCAGAACGATTA، TCAGCAGAACATAAGGTCCAACTC، CCTTCTCAGAGATGGCACCATGTTG، CCAGGAGAAGGCTCATGTCATTG، GTCGATGCAGTAGCAGCAATGCTCT، CTTCTCCTCCGTCAACAACCAATG، CCCAAAGTCGCATTCACTGTGCTC، CCTTCCCACATCTCAGGGTACTTC، CCTAATGGTACATGTGGCTCCTACATGCTAG، AGGATAGTGAATGGAAGCGGAGATG و کیت GeneRacer (Invitrogen) مطابق با دستورالعمل شرکت سازنده به دست آمدند.

جدول ۱: مشخصات آغازگرهای به کار گرفته شده در RT-PCR و طول مورد انتظار محصول. در هر آغازگر، حروف بزرگ نمایانگر توالی اختصاصی زن، حروف کوچک ضخیم نمایانگر جایگاه شناسایی آنزیم محدودگر و حروف کوچک نمایانگر نوکلئوتیدهای اضافی می‌باشند

Table 1: Specifications of the primers used in RT-PCR, and the expected length of amplicon. In the primer sequences, the capital letters show the gene-specific sequence, the small bold letters show the recognition site of restriction enzyme, and the small letters show the extra nucleotides

Gene	آغازگر Primer	توالی (۵'→۳') Sequence (5'→3')	آنژیم برنشی Restriction enzyme	دماهی اتصال Annealing (°C)	اندازه محصول Length of amplicon(pb)
TBG1	Forward	tgtatcgagtc ATGGGTTTTGGATGGCAATGT	<i>Sac</i> I	52-62	2507
	Reverse	tgtatcgagtc TCAACTACAAATGGCTTCCAC			
TBG2	Forward	gtatctctaga ATGGTAGAACGCTATGAGCA	<i>Xba</i> I	59.5	2678
	Reverse	gtatctctaga TCACGAGGAAGCTGAAGT			
TBG3	Forward	tgtatcgagtc ATGGGTTGTACGCTTATACTA	<i>Sac</i> I	62	2516
	Reverse	tgtatcgagtc TCAACTGCATAAACCTCAACT			
TBG4	Forward	gatcgagtc ATGCTAAGGACTAATGTGTTG	<i>Sac</i> I	60	2174
	Reverse	gactcgagtc TTATCTTGATCTCCTGACTAG			
TBG5	Forward	agtcaagatcc ATGGAAAGAAGAAGTGGGTAT	<i>Sac</i> I	62	2558
	Reverse	agtcaagatcc GAGGCATCATGTACAAGAAG			
TBG6	Forward	gactcgatcc ATGGAGGTTAACTCACTTCAG	<i>Bam</i> H I	62	2538
	Reverse	agtccggatcc TCAATTCTGAGTAGGTGTAC			
TBG7	Forward	agtccggatcc ATGAACACAATGAGTTTT	<i>Bam</i> H I	62	2612
	Reverse	agatccggatcc TCAGCTGCAATTCACTTC			
Actin	Forward	TATCCGATTGAACATGGTATTG	-----	62	546
	Reverse	AATGGTGATAACCTGTCCATC			

پیوستگی متشکل از ۱۹ اگزون و ۱۸ اینترون دارند. این الگو به عنوان یک الگوی اجدادی شناخته شده است و پیشنهاد گردیده که دیگر الگوها، عمدتاً به واسطه فقدان اینترون، از آن مشتق شده‌اند آن و همکاران (Ahn *et al.*, 2007). ترجمه cDNAهای همسانه‌سازی شده به توالی‌های اسیدآمینه نشان داد که آنها طول کاملی از پروتئین‌های بتاگالاکتوزیداز را با خصوصیات فیزیکوشیمیایی ارائه شده در جدول ۲ رمز می-نمایند. محاسبه ارزش هیدروپاتی به روش کیت و دولیتل (Kyte and Doolittle, 1982) نشان داد که این پروتئین‌ها باشد تقریباً برابری آب‌دوست هستند (جدول ۲)، در عین حال، برنامه‌های SignalP و iPSORT نشان دادند که این پروتئین‌ها در پایانه N خود دارای یک پیتید سیگنال آب‌گریز می‌باشند (شکل ۱). محاسبه ساختار آلفاتیک به عنوان یک فاکتور مثبت در مقاومت به حرارت نشان داد که تمامی این پروتئین‌ها به طور مشابهی از مقاومت حرارتی برخوردار می-باشند (جدول ۲). بررسی تعداد اسیدآمینه‌ها آشکار ساخت که پروتئین رمزشده توسط آیزوفرم STBG4 به طور قابل توجهی کوچک‌تر از پروتئین‌های رمزشده توسط دیگر آیزوفرم‌ها می-باشد (جدول ۲). تجزیه و تحلیل توالی‌های پروتئینی توسط PROSITE علت اندازه کوچک‌تر پروتئین رمزشده توسط STBG4 را مشخص کرد. به طور قابل توجهی تمامی پروتئین‌ها، به جز پروتئین منتج از STBG4 در پایانه C خود دارای یک دمین مشابه لكتین تخم جوجه‌تیغی دریایی بودند (شکل ۱). هم‌ردیفی دمین‌های مشابه لكتین تخم جوجه‌تیغی دریایی، برگرفته شده از STBG2,3,5,6,7 و گونه‌های جانوری متفاوت، نشان داد که در همه این دمین‌ها هفت باقیمانده سیستئین کاملاً حفاظت شده‌اند (شکل ۲). این نوع از حفاظت‌شده‌گی در دمین‌های مشابه لكتین تخم جوجه‌تیغی دریایی موجود در TBG1,2,3,5,6,7 نیز مشاهده گردید. این در حالیست که لكتین‌های گیاهی شناخته شده ساختار کاملاً متفاوتی دارند؛ به طور مثال، لكتین نخود عاری از باقیمانده‌های Kardailsky *et al.*, 1996 می‌باشد کاردیلیسکای و همکاران (Bombarely *et al.*, 2011) که شباهت لكتین تخم جوجه‌تیغی دریایی با دیگر لكتین‌های جانوری بیانگر وجود یک الگوی لكتین جانوری در آنزیم‌های بتاگالاکتوزیداز گوچه‌فرنگی است.

نرم‌افزارهای بیواینفورماتیکی به کار گرفته شده در آنالیز توالی‌های پروتئینی
 پیتیدهای سیگنال با به کار گیری برنامه‌های signalP V3.0 (Bendtsen *et al.*, 2004) و iPSORT (Bannai *et al.*, 2002) مشخص گردیدند. بازیابی و همکاران (De Castro *et al.*, 2006) دیگر PROSITE (Rost and Sander, 1993) بررسی گردید. ساختارهای دوم پروتئین با برنامه‌های SOPMA (Geourjon and Deleage, 1995) پیش‌بینی شدند و هم‌ردیفی چندتایی توالی‌های پروتئینی توسط Gasteiger *et al.*, (ProtParam گاستیگر و همکاران (Thompson *et al.*, 1994) بررسی گردید. ساختارهای دوم پروتئین با برنامه PHD (ClustalW تامپسون و همکاران (1994) انجام شد.

نتایج و بحث

توالی‌های نوکلئوتیدی و پلی‌پیتیدی cDNAهای همسانه‌سازی شده

براساس توالی cDNAهای رمزکننده هفت بتاگالاکتوزیداز در گوچه‌فرنگی رقم روتگرس (TBG1-7) و روش RACE-PCR طول کامل شش cDNAهای رمزکننده آنزیم‌های بتاگالاکتوزیداز (آیزوفرم‌های متناظر با TBG2-7) از میوه گوچه‌فرنگی رقم فالکاتو همسانه‌سازی شدند. ساختارهای همسانه‌سازی شده، HM627532 STBG2-7 نام‌گذاری شدند و با شماره‌های HM627534، HM627535، HM627533 و HM627537 در بانک ژن NCBI در دسترس قرار گرفتند. STBG7 تا STBG2 به ترتیب طولی معادل ۳۰۵۲، ۲۹۹۶، ۲۸۲۳، ۲۶۳۰، ۳۰۹۲ و ۳۰۱۲ جفت باز را داشتند و به ترتیب ۲۵۵۹، ۲۱۷۵، ۲۵۱۷، ۲۶۷۹، ۲۱۷۵ و ۲۶۱۳ جفت باز را شامل شدند. مقایسه این cDNAهای گوچه‌فرنگی با مبیرلی و همکاران (Bombarely *et al.*, 2011) نشان داد که به جز STBG4 که یک الگوی پیوستگی متشکل از ۱۸ اگزون و ۱۷ اینترون دارد بقیه این آیزوفرم‌ها یک الگوی

STBG 3 MECTLILMLMELVLLVLLGSWUFSGTASVSDHRAIIW6QQRILLGSGVHYPFRSTEEHSPGIIQKAKRSEGDYK
 STBG 4 MHLTBTMVLILLVLLC1LDFFSSVKASVSDHRAIIINGKXILIGSGVHYPFRSTPQHMPDLIQKAKRDGLD
 STBG 6 HEVNSLQKWLILVLLC1LDFFSSVKASVSDHRAIIINGKXILIGSGVHYPFRSTPQHMPDLIQKAKRDGLD
 STBG 7 HOMMECLSSHEKFVTLASTVWMMVMSSSLAAVDA,SHV3TTIDGDSWYDTRRSLLIMQGKXILISASVHPSVPAWGPVLRLVAKLGGVSD
 STBG 5 HEPRGSGYCLSVTHLVEFGVVFTHCLVMTSFAAHEDHRAIIVVDGPRERVLISGSINHYPFRSTDNSPDLIQKAKRDGLD
 STBG 2 -HVEAMSRERLTLMFPLITVLTINFVIWAGEYTFKPEDHRAALIIGCKRPMLEAGIHYBATPEHPTLIAKSEGRADY

STBG 3 IQTYVEWNGHEPQQGKYYEGRYDYLVKEIKLVNQASLYVHLRVGPFYACALWHPGCFPVWLYKVGEISFTHTDGPFKAQKIPATAKIVHMG
 STBG 4 IETYVEWNGHEPSPGKYNENEGRYDYLVKEIKMVQFAGLYVHLRIIGPYVCRCRWHGCFPVWLYKVGEISFTHTDGPFKAQKIPATAKIVHMG
 STBG 6 VEITYVEWNGHEPSPGKYYEGRYDYLVKEIKMVQFAGLYVHLRIIGPYVCALMHPGCFPVWLYKVGEISFTHTDGPFKAQKIPATAKIVHMG
 STBG 7 IETYVEWNGHEPSPGKYYEGRYDYLVKEIKMVQFAGLYVHLRIIGPYVCALMHPGCFPVWLYKVGEISFTHTDGPFKAQKIPATAKIVHMG
 STBG 5 IETYVEWNGHEPSPGKYYEGRYDYLVKEIKMVQFAGLYVHLRIIGPYVCALMHPGCFPVWLYKVGEISFTHTDGPFKAQKIPATAKIVHMG
 STBG 2 IETYVEWNGHEPSPGKYYEGRYDYLVKEIKMVQFAGLYVHLRIIGPYVCALMHPGCFPVWLYKVGEISFTHTDGPFKAQKIPATAKIVHMG

STBG 3 AEFLYETDGGCILSLSIENEYS--PHEWELHAPGKSYAQKRAKPHVQLDTGVWVHICXQDORPDPIENACFGYCUDYFSPHKAAYKEKIKW
 STBG 4 SEHLLFESEGGCGILSLSIENEYS--PVWEVEIISGPKATKVKLHQHAGVLTGKTFWVWICXKREDAPDPDVIDCINGFCYEGERHFKPYKPPKMM
 STBG 6 SHMFLFESEGGCGILSLSIENEYS--PQAKVLFQALGQSYTWWAHLGQHDLTSVWVHICXEADAPDPTVNCINGFCYEGERHFKPYKPPKMM
 STBG 7 REFLFASOGGEILSLSIENEYS--YYEHALBEGGKRXALWAKHALSQHGVWVHICXQYDARAPDPTVNCINGFCYEGERHFKPYKPPKMM
 STBG 5 QENLYASOGGEVILSLSIENEYS--HGDIIESRVPKAKPVTWVHICXQDAPPSTVNCINGFCYEGERHFKPYKPPKMM
 STBG 2 SESLSFWGGEILSLSIENEYS--HVESTPQFKGKLYMOKRMAHEMAGVLGAGVWVHICXQTDARFYIJDTCAYVCDGTPHSEKQPKW
 STBG 3 ANTAEOTGFBNPVYVPPAEIDLAFSVKAEIDQEGSFHIVYEMHGTINFGTAGGPFIATISYDADPLDEYGLLPOPWKGHLKDEHRAIILCE
 STBG 4 VWHWYTFHDFGPIQDPEIDAFSVKAEIDQEGSFHIVYEMHGTINFGTAGGPFIATISYDADPLDEYGLLPOPWKGHLKDEHRAIILCE
 STBG 6 ARSFGSEFSEGPFLHQWVQDIDAFAVAFQIDQEGSFHIVYEMHGTINFGTAGGPFIATISYDADPLDEYGLLPOPWKGHLKDEHRAIILCE
 STBG 7 KNPQGKTFKARDPHEPMDVAYSVAFPQKGGSVQHYYMHEGTINFGTAGGPFIATISYDADPLDEYGLFRTWKGHLKELMKVINSCE
 STBG 5 HLTGWLSEDFGPVYEPVEIDAFAVAFQDGGIFQHYYMHEGTINFGTAGGPFIATISYDADPLDEYGLLPOPWKGHLKDEHRAIILCE
 STBG 2 HNGUGEDADWHRERLPYRPESEDIRFAIALLFQDGGSLQYHYYMFGGTINFGTAGGPFIATISYDADPLDEYGLLPOPWKGHLKDEHRAIILCE

STBG 3 PALVSGD-PAVTALHSGQEADIVTE--SKAGSCAAFLAYHDQMSFATVSSAHHNTHLPWSIHLPDCKHCTVHTFATARIAGQSA
 STBG 4 PALVSSY-AAVTSLSGSQHNOYR--SKSGACAAFLSYDSRYSVKTQFQHNPYHLPWSIHLPDCKTAHVNTQVHQSQSS
 STBG 6 KSVSAD-PAAITSLSGSQHQAAYVTS--SETGGCAAAFLSYDNWSKAAAEHNHMYHLPWSIHLPDCKHCVVHTFATVQGQVTS
 STBG 7 HALLHND-PTTLSLSGFLQEADIVTE--DASGCAAFLAYHDDDKHDQVQFQHVSYHLPWSIHLPDCKHVAFTFATVQGQVTS
 STBG 5 AAMVATE-PHITSLSHINVSWSVY--TDS-QCAAEFLATATQSDAAMSFGHSYHLPWSIHLPDCKHVAFTFATVQGQVTS
 STBG 2 PALVAADSPZQIKLQPKQAEQWVGTSHNQGQHMSLIGIATIAHDENESATVYQEGFTLPWPSVHLPDCKHVAFTFATVQGQVTS

STBG 3 QHMHIPVS--EGLPWQSFHEETS SYEDS-SFTVVGGLILEQIHTFBDVSDWVHSTSDVKSDEE--FLRGGKWP
 STBG 4 SINKHAG--GGLPWQSYHETP TADDS DTLTANGLWEQKQHVRDS SDYLINEHNVIASHEG--FLRGGKDP
 STBG 6 KHMHITHS--EHMSWEIYEDIS ALDDSSS1RSFGLLEQIHTFBDVSDWVHSTSDVKSDEE--FLRGGELP
 STBG 7 IVHMIAPIIDLHETASS--PKRDIKS LQMEVEKETAGWNGVA-DFTKHGFVHIDTKEKATDYLWATTSIFVMAHEED--FLRGGTAM
 STBG 5 ISTVVTESSEADAS--GGSLSGWTSVHNFVGSINER--AFTRMQLEQIHTFBDVSDWVHSTSDVKSDEE--FLQDG SAT
 STBG 2 IKTVGSQDSVSVGHHNLSILOQVITKESKLFSSFSQSMVLIKEPLGWNGDX-HFTSKGIELHLPWDO SDYLINEHTRIYISDDDI SFWEE HDVSP
 Persimmon
 Barley
 ASKAGX SXFHETIGISXH-A
 AASSH-XAVE

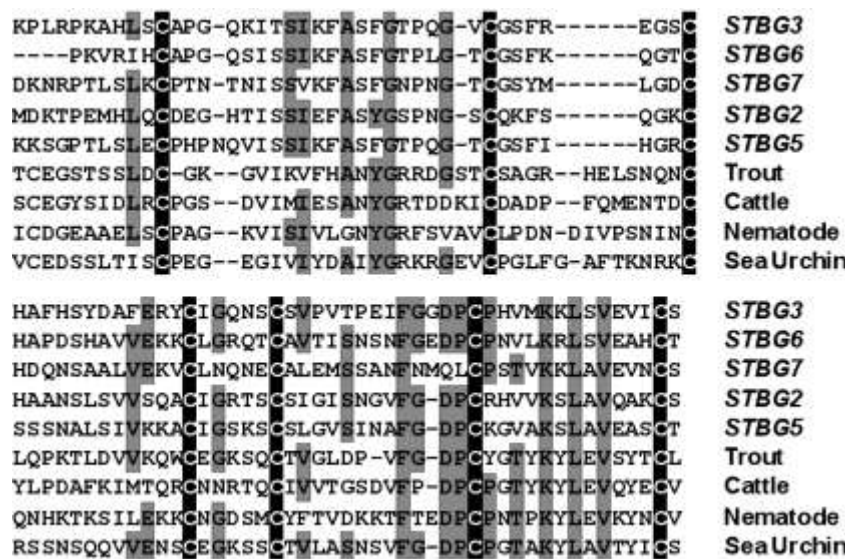
STBG 3 LTIMSAGHAIHVVFHQLAGTAYDSELEPKLITFSKAVHEDAAVKEISLSSIAWLNHISPHETWNAEVGLGPVSLTBLDEG-KRDEIWQK
 STBG 4 LTIMSAGHAIHVVFHQLAGTAYDSELEPKLITFSKAVHEDAAVKEISLSSIAWLNHISPHETWNAEVGLGPVSLTBLDEG-KRDEIWQK
 STBG 6 LIVEITGHAMHVVFHQLAGTAYDSELEPKLITFSKAVHEDAAVKEISLSSIAWLNHISPHETWNAEVGLGPVSLTBLDEG-KRDEIWQK
 STBG 7 LFVESKGHAMHVVFHQLAGTAYDSELEPKLITFSKAVHEDAAVKEISLSSIAWLNHISPHETWNAEVGLGPVSLTBLDEG-KRDEIWQK
 STBG 5 LMVKTLGHVIMAYINGKESGSKGKHSRNHSHTIIVVPTTIPGEHKDOLLSATVQGQHAFITDKGADITGPVQLKGFKNQTTDLSKQH
 STBG 2 IDIDSMRDFWVIFVHQLAGSVKG---KWIKVQVPKVQGHDIEHLLSETVQGQHAFITDKGADITGPVQLKGFKNQTTDLSKQH
 STBG 3 SEKVQKGEALSLSLGSSSVWEGVSLVAQRP-PLTNYKSTFWAPQHDFLAIDLHPTQKVWIBHQSLGHWI--GYKAQHCGACH
 STBG 4 SEKVQKGEALSLSLGSSSVWEGVSLVAQRP-PLTNYKSTFWAPQHDFLAIGMSMKGQIWTWINGVQHGIW--GYIAQGDCSKES
 STBG 6 TTKVQGLKGEALNLSLGSQHAWQMSQHLSIAGQQPPLTWQXAAFTPTGDEBLALIMSSQHGWVIBHQSIHWI--AYATG-DCNGQH
 STBG 7 TTKIQLQGEMLRIQKSYNLKSKIWAPTSQFPKQG-PLTNYKJAVWDAPFGHEPVALIMIHNGKGMWHLQEIHWIWRSTSKEYENCVQGD
 STBG 5 TTKVQGLKGEALGLSNG--GSTLAKSQTALPTQFQ-PLTNYKASFDAAGOTELMSDFETMGEAEANVHQQSIHWIWRSTSKEYENCVQGD
 STBG 2 TTKVQGLKGEALGLSNG--GSTLAKSQTALPTQFQ-PLTNYKASFDAAGOTELMSDFETMGEAEANVHQQSIHWIWRSTSKEYENCVQGD

STBG 3 EASATWENKKCLSHGQEAQHPSWVHPVREWLYPTGHLLEVLFLXWGGEPNGISLVRERAVASVCAIDENWQQLVWVHQASQGVDK---PLP
 STBG 4 EASTWENKKCLSHGQEAQHPSWVHPVREWLYPTGHLLEVLFLXWGGEPNGISLVRERAVASVCAIDENWQQLVWVHQASQGVDK---PLP
 STBG 6 EASVWFRPPKCOLQGEPTQSWVHPVREWLYPTGHLLEVLFLXWGGEPNGISLVRERAVASVCAIDENWQQLVWVHQASQGVDK---PLP
 STBG 7 YRKXFPDKCVTGCGQPTQSWVHPVREWLYPTGHLLEVLFLXWGGEPNGISLVRERAVASVCAIDENWQQLVWVHQASQGVDK---PLP
 STBG 5 ERSGYHAECLKHNQSKPQHLLVHPSWILKSSGHLVLFVHEMHDGDTKLSSFAIRHESQVCSERISDAMPIDMMSSEDDARKE--SGPTL
 STBG 2 YRSGYHSDKCTHNGEITQWVHPSWILKTLHNVVIFEEIDKTHEDISIESTIETICMQVSXKHYPPIKNSHSEFDRLKL SIMOKTPE

STBG 3 AHLSCAPGOKITSIKFASFQGIPQGVCGSFREGSCSCHAFMSYDAFERYCIGQNSCSVVPTPTEIFGGDPCPHVHKEKLSVEVICS
 STBG 4
 STBG 6 VRHNCAPGOSLSSIKFASFQGIPLGTCSFKQGTCMADPSHAVVEKKC1GROTCVAVLISHMFGDPCPHVHKEKLSVEVICS
 STBG 7 LS1KCPHTHESSSVKFAFSFGHPTGTCGSYMLGDCHDQBSAALVEKVLHONECALMSSAHMHQICPSTVKLVAEVINCS
 STBG 5 SLECPHMFQVSISSIKFASFQGIPQGTCGSYMLGDCHDQBSAALVEKVLHONECALMSSAHMHQICPSTVKLVAEVINCS
 STBG 2 MHLCODGEHTMISIIFAFASYGSPSCSOKCMEGKCBHAAHLSSLWSOACIGPTSCS1G1SGHVGW-DPCPHVHKEKLSVEVICS

شکل ۱: هم ردیفی توالی های پروتئینی منتج از STBG2-7 و توالی های پایانه N از زیر واحدهای کوچک بتاگالاكتوزیداز های هترو دایمر خرمالو و جو، حروف سایه دار، با قیمانده های حفاظت شده را نمایش می دهند. اسید آمینه های حفاظت شده در جایگاه فعل مفروض خانواده ۳۵ گلایکوزیل هیدرولازها توسط حروف سفید روی پس زمینه سیاه نشان داده شده اند. حروف آبی رنگ جایگاه های N- گلایکوزیل بلاسیون بالقوه (N-X-S/T) را نمایش می دهند. توالی های قرمزنگ، توالی های کوتاه حفاظت شده بین نیمه های انتهایی N و C را نشان می دهند. توالی های زیر خط دار در پایانه های N و C به ترتیب پپتید های سیگناال و دمین های مشابه لکتین تخم جوجه تیغی دریابی را نشان می دهند. توالی زیر خط دار در بخش میانی STBG2 محدوده پلی پپتید متفاوت در پروتئین های منتج شده از STBG2 و TBG2 باشد.

Fig. 1: Alignment of the protein sequences resulted from *STBG2-7* and the N-terminal sequences of the small subunits of the heterodimeric persimmon and barley β -galactosidases. The conserved residues are shaded. The conserved residues in the putative active sites of the glycosyl hydrolases family 35 are shown by white letters on a black background. The blue letters show the potential N-glycosylation sites (N-X-S/T). The red sequences show the non-conserved short sequences between the N- and C-terminal halves. The underlined sequences in the N- and C-terminals show the signal peptides and the sea urchin egg lectin like domains, respectively. The underlined sequence in the middle part of *STBG2* shows the different polypeptide in the proteins resulted from *TBG2* and *STBG*



شکل ۲: همردیفی دمین‌های لکتین، به دست آمده از ۷-۷، ماهی قزل‌آلا (Oncorhynchus mykiss - accession No. STBG2-7)، گاو (Bos taurus - No. AAD05309)، نماتود (Caenorhabditis elegans - No. CAA91091) و جوجه‌تیغی دریابی (Anthocidaris crassispina - No. P22031) داده شده‌اند. اسید‌آمینه‌های سایه‌دار، دیگر باقیمانده‌های یکسان را نشان می‌دهند

Fig. 2: Alignment of the lectin domains from STBG2-7, Trout (*Oncorhynchus mykiss* - accession No. BAA92255), Cattle (*Bos taurus* - No. AAD05309), Nematode (*Caenorhabditis elegans* - No. CAA91091), and Sea urchin (*Anthocidaris crassispina* - No. P22031). The conserved cysteine residues are shown by white letters on a black background. The shaded residues show the other identical residues

جدول ۲: خصوصیات فیزیکوشیمیایی توالی‌های پروتئینی منتج شده از STBG2-7

Table 2: The physicochemical characteristics of the protein sequences resulted from STBG2-7

آیزوفرم Isoform	تعداد اسید‌آمینه‌ها Number of amino acids	جرم مولکولی Molecular mass (KD)	نقطه ایزاکتریک Isoelectric point	ارزش هیدرопاتی Hydropathy value	شاخص آلیفاتیک Aliphatic index
STBG2	892	99.82	6.24	-0.27	75.54
STBG3	838	92.93	8.55	-0.20	76.00
STBG4	724	80.45	9.05	-0.31	75.25
STBG5	852	93.21	6.80	-0.22	74.74
STBG6	845	94.07	6.67	-0.26	75.33
STBG7	870	97.00	8.38	-0.28	70.62

Tello-Solís *et al.*, 2005, Dwevedi *et al.*, 2010 سولیس و همکاران، دویویدی و همکاران (2005). بنابراین مشاهده نقاط ایزاکتریک بسیار متفاوت در این آیزوفرم‌ها نشان می‌دهد که آن‌ها برای موقعیت‌های خاصی تکامل یافته‌اند و نمی‌توانند در همه نقاط یک گیاه پایدار یا فعال باشند. از این‌رو، شاید نقاط ایزاکتریک متفاوت در عملکرد اختصاصی این آنزیم‌ها مؤثر باشند و اتصال این آنزیم‌ها به سوبستراهای مختلف در نقاط مختلف گیاه را تا حدودی توجیه نمایند.

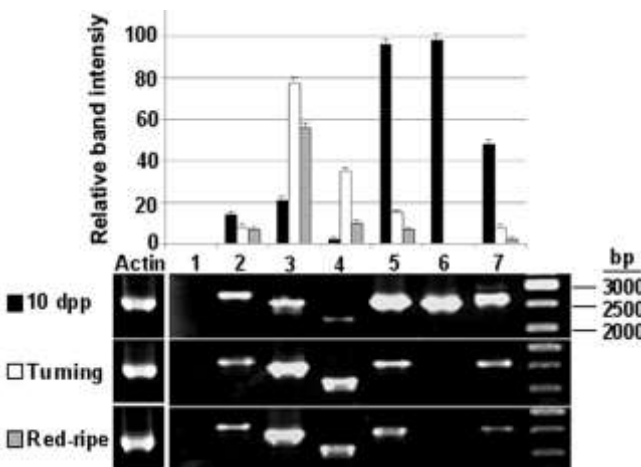
بررسی خصوصیات فیزیکوشیمیایی پروتئین‌ها نشان داد که یک اختلاف مهم بین این آیزوفرم‌ها مربوط به نقاط ایزاکتریک آنهاست، به طوری که پروتئین‌های مشابه تفاوت قابل توجهی را در نقاط ایزاکتریک نشان می‌دهند (جدول ۲). وضعیت pH می‌تواند در نقاط مختلف یک گیاه متفاوت باشد و در طول رشد نیز تغییر یابد. رولین و همکاران، فاسانو و Rolin *et al.*, 2000; Fasano *et al.*, 2001; Demaurex, 2002 بر اثر الکتریکی گروه‌های R- اسید‌آمینه‌ها را بسته به نقاط ایزاکتریک آنها تغییر دهد و در نتیجه ساختار دوم، ساختار سوم، پایداری و فعالیت آنزیم را تحت تأثیر قرار دهد. تلو

های متناظر نشان داد (اطلاعات نشان داه نشده است). بررسی توالی‌های اسیدآمینه منتج شده از این cDNA‌ها آشکار ساخت که این اختلافات نوکلئوتیدی منجر به بروز تفاوت‌هایی در توالی اسیدآمینه به شرح ذیل گشته‌اند. در 2 STBG2، اسیدآمینه-Asp- Pro-427 Leu-426 Ile-425 Ser-424 Thr-200 های اسیدآمینه بهترین گشته‌اند. در 2 STBG2، اسیدآمینه-Asp- Pro-427 Leu-426 Ile-425 Ser-424 Thr-200، Ala-433 Thr-432 Asn-431 Arg-430 Cys-429 Val- Lys-438 Ala-437 Thr-436 Asn-435 Phe-434 Thr- Ile-445 Ser-444 Thr-443 Gln-442 Ala-441 439، Ser-452 Asp-451 Ser-450 Gly-449 Val-448 447 Ser- Asn-458 Asn-457 Val-455 Ser-454 Val-453 Ile-465 Val-464 Gln-463 Leu-462 Leu-460 459 جایگزین 200 Val-424 Ser-200 Gln-426 Phe- 425 Leu-432 Ile-431 Glu-430 Ala-429 Ile-428 427 Arg-438 Leu-437 Gln-436 Thr-435 Ser-434 433 Ser- Gln-444 Leu-443 Lys-442 His-441 Trp-439 Ile-451 Gln-450 Ala-449 Trp-448 Gln-447 445 Ile-458 Ile-457 Leu-455 Gln-454 Phe-453 Leu-452 Ser- Leu-464 Lys-463 Tyr-462 Cys-460 Leu-459 در 752 Ser-470 Ala-468 Leu-466 465 Ser-764 STBG3 اسیدآمینه Pro-764 جایگزین TBG2 شده‌اند. در 764 STBG3 اسیدآمینه است. در 4 اسیدآمینه‌های Arg-690 Gly-635 Val-610 Arg-484 218 Tyr- جایگزین 218 Met-610 Lys-484 Gln-218 و Asp-635 در 690 STBG5 اسیدآمینه‌های 112 Lys-112 Arg-112 Ile-747 Lys-523 و Ile-361 Arg-523 Val-361 Arg-523 در 747 Thr-250 اسیدآمینه‌های 33 Lys-33 Glu-33 و Thr-250 به ترتیب جایگزین STBG6 شده‌اند. در 783 Ser-783 Ala-569 و Asn-569 در 783 TBG7 شده‌اند.

الگوی بیان زمانی آیزوفرم‌های STBG2-7 در میوه
بیان آیزوفرم‌های بتاگالاكتوزیداز در بافت میوه گوجه‌فرنگی رقم فالکاتو از طریق تکنیک RT-PCR نیمه‌كمی و در سه مرحله Red-ripe، 10 dpp و Turning (شکل ۳) نشان رشدی شامل RT-PCR روی ژل آگارز داد که از هفت آیزوفرم بتاگالاكتوزیداز شناسایی شده در رقم روتگرس (TBG1-7)، شش آیزوفرم به طور قطعی در رقم فالکاتو دارای بیان هستند (آیزوفرم‌های متناظر با TBG2-7)، در حالی که آیزوفرم متناظر با TBG1 یا در رقم فالکاتو بیان نشده و یا آن که آغازگرهای اختصاصی آن نتوانسته‌اند رونوشت‌های آن را تکثیر نمایند. به هر حال شش آیزوفرم به دست آمده (STBG2-7) الگوهای بیان متفاوتی را در مراحل مختلف رشد میوه به نمایش گذاشتند. STBG2 بیشترین بیان را در مرحله 10 dpp نشان داد و در دو مرحله بعدی رشد، سطوح بیان پایین‌تری را به نمایش گذاشت. STBG3 در مراحل Turning و dpp Red-ripe سطوح بیان به مراتب بالاتری را نسبت به مرحله 10 dpp Turning بود. سطح بیان 10 dpp در مرحله Red-ripe پایین‌ترین میزان خود بود و در مرحله Turning با افزایش Red-ripe مجدداً کاهش نشان داد. STBG5 سطح بیان بسیار بالایی را در مرحله 10 dpp به نمایش گذاشت و سطوح نسخه‌های آن به- طور چشمگیری با افزایش سن میوه کاهش نشان دادند. مرحله بعدی رشد فاقد بیان بود. STBG6 به شدت در مرحله 10 dpp بیان شد در حالی که در دو مرحله بعدی رشد فاقد بیان بود. STBG7 نیز مانند STBG5 با نسخه‌های فراوان در مرحله 10 dpp ظاهر شد و بیان آن به طور قابل ملاحظه‌ای با افزایش سن میوه کاهش نشان داد.

مقایسه توالی اسیدآمینه بتاگالاكتوزیدازها در دو رقم فالکاتو و روتگرس

همردیفی توالی cDNA‌های رمزکننده بتاگالاكتوزیدازها در دو رقم فالکاتو و روتگرس اختلافات نوکلئوتیدی را میان آیزوفرم-



شکل ۳: آنالیز نیمه کمی بیان زمانی آیزوفرم های *STBG2-7* در سه مرحله رشدی میوه، شامل مراحل ۱۰ dpp و Turning و Red-ripe است. آنالیز نیمه کمی باشد که در هیچ یک از مراحل رشدی به دست نیامد. اعداد ۲ تا ۷ نیز به ترتیب سطوح بیان آیزوفرم های *STBG2* تا *STBG7* را نشان می دهند. تصویر یک ژل به نمایندگی از سه تکرار مستقل آورده شده است. شدت نسبی باندها نسبت به شدت باند اکتین نرمال سازی شده اند. نمودارهای سنتونی، به طور معنی داری متغروت بوده ($P < 0.01$) و میانگین ± انحراف معیار بدست آمده از سه واکنش RT-PCR مستقل را ارائه می نماید.

Fig. 3: Temporal semi-quantitative expression analysis of the *STBG2-7* isoforms at three developmental stages of fruit, including 10 dpp, turning and red-ripe stages. Number 1 is related to the isoform corresponding to *TBG1*, which was not obtained at none of the developmental stages. Numbers 2 to 7 show the expression levels of the *STBG2* to *STBG7* isoforms, respectively. One representative gel is shown from three independent replicates. Relative band intensities were normalized to the actin band intensity. Bars are significantly different ($P < 0.01$). Each histogram represents the mean ± standard deviation obtained from three independent RT-PCR reactions.

گذاری نور درن بررسی گردیده است / سمیت و گروس (2000). *TBG1* در رقم روتگرس در مرحله ۱۰ dpp ظاهر نشده و در مراحل Turning و Red-ripe با سطوح پایینی بیان شده است؛ در حالی که ما از طریق تکنیک RT-PCR موفق به شناسایی آیزوفرم متناظر با آن در رقم فالکاتو نشیدیم. *TBG2* از مرحله ۳۰dpp به بعد ظاهر شده و تا مرحله رسیدگی کامل میوه، پایین ترین سطح بیان را در میان دیگر آیزوفرمها داشته است؛ در حالی که *STBG2* از مرحله ۱۰dpp دارای بیان می باشد و در سرتاسر مراحل رشد میوه سطوح بیان متغروت و گاهی بالاتر از دیگر آیزوفرمها را نشان می دهد. *TBG3* تا مرحله ۴۰dpp بیان نشده و در مراحل Turning و Red-ripe سطوح بیان بسیار پایینی را نشان داده است؛ در حالی که *STBG3* در مرحله ۱۰dpp بیان قابل توجهی دارد و به خصوص در مراحل Turning و Red-ripe نسبت به دیگر آیزوفرمها بالاترین سطح بیان را نشان می دهد. *TBG4* تا مرحله ۴۰dpp ظاهر نشده، در مرحله Turning بالاترین بیان را داشته و در مرحله Red-ripe بیان آن کاهش یافته است؛ در حالی که *STBG4* بیان کمی را در مرحله ۱۰dpp نشان می دهد و در دیگر مراحل رشدی بیانی مشابه *TBG4* را دارد. *TBG5* در مراحل ۱۰dpp و Turning به شدت بیان شده و در مرحله Red-ripe سطوح بیان آن به طور چشمگیری کاهش یافته است؛ *STBG5* نیز بیان مشابه *TBG5*

برخلاف آیزوفرم های *STBG3,4,5,6,7* که در یک یا چند اسید آمینه اختلاف نشان دادند، آیزوفرم *STBG2* دامنه وسیعی از اختلافات اسید آمینه را به نمایش گذاشت. بررسی توالی های نوکلئوتیدی در *STBG2* و *STBG2* نشان داد که وارد شدن یک نوکلئوتید آدنین در موقعیت ۱۲۷۰ و حذف یک نوکلئوتید گوانین در موقعیت ۱۴۱۱ از ژن *STBG2* سبب شده تا در ناحیه مرکزی پروتئین به دست آمده (با قیمانده های ۴۲۴ تا ۴۷۰) توالی اسید آمینه تغییر یابد. بررسی خصوصیات این پلی پپتیدی تغییریافته در *STBG2* نشان داد که در مقایسه با توالی متناظرش در *TBG2*، وزن مولکولی آن از ۵۴۶ به ۹/۶۳ دالتون کاهش، pH ایزو الکتریک آن از ۹/۵۹ به ۹/۶۳ افزایش، شاخص آلیفاتیک آن به عنوان یک فاکتور مثبت در مقاومت به حرارت از ۱۲۰ به ۹۵ کاهش و شاخص هیدرопاتی آن نیز به عنوان یک فاکتور مثبت در آب گریزی از ۰/۳۴ به ۰/۰۶ کاهش یافته است.

مقایسه بیان آیزوفرم های بتا گالاکتوزیداز در دو رقم فالکاتو و روتگرس و بررسی اهمیت این آیزوفرم ها در رشد و رسیدگی میوه گوجه فرنگی پیش از این، بیان هفت آیزوفرم بتا گالاکتوزیداز در میوه گوجه فرنگی رقم روتگرس (*TBG1-7*) با استفاده از تکنیک لکه-

داشته است. بنابراین انتظار می‌رود این آیزوفرم نیز مانند آیزوفرم ۱ تأثیر مهمی بر رشد و نرمی میوه نداشته باشد. خصوصاً آن که پروتئین‌های رمزشده توسط *TBG2* و *TBG2*-7 نسبت به پروتئین‌های رمزشده توسط دیگر آیزوفرم‌ها کمترین درجه حفاظت‌شده‌گی را دارند.

خصوصیات ساختاری و اجزای عملکردی پروتئین‌های منتج از آیزوفرم‌های *TBG2*-7

بهمنظور شناخت مؤلفه‌های درگیر در عملکرد افتراقی بتاگالاکتوزیدازها، ساختارهای اول و دوم پروتئین‌های منتج از آیزوفرم‌های *TBG2*-7 مورد بررسی قرار گرفتند. بررسی‌ها نشان دادند که در خانواده گلایکوزیل هیدرولاز ۳۵ علاوه بر بتاگالاکتوزیدازهای مونومر، مانند بتاگالاکتوزیدازهای ۷۵KD در گوجه‌فرنگی کری و همکاران (1995) و ۷۷KD در فلفل اگاساوارا و همکاران (Ogasawara *et al.*, 2007)، گروه دیگری از بتاگالاکتوزیدازها وجود دارند که هترودایمرند، مانند ۴۵ KD ۳۳ و ۴۵ KD تشکیل شده تریانتافیلیدو و گئورگاتسوس (Triantafyllidou and Georgatsos, 2001) و بتاگالاکتوزیداز نخود که از دو زیرواحد ۳۸ KD و ۴۸ KD تشکیل شده است کیشور و کایاستا (Kishore and Kayastha 2012). این بتاگالاکتوزیدازهای هترودایمر از شکست یک پلیپتید منفرد حاصل شده‌اند و زیرواحدهای بزرگ و کوچک در آنها به ترتیب با نیمه‌های انتهایی N و C در بتاگالاکتوزیدازهای مونومر متضاد می‌باشند تریانتافیلیدو و گئورگاتسوس (2001). این یافته‌ها وجود دو دمین اصلی را در این پروتئین‌ها پیشنهاد می‌کنند، که ممکن است خصوصیات عملکردی متفاوتی داشته باشند. هم‌ردیفی توالی‌های پروتئینی آیزوفرم‌های *TBG2*-7 (شکل ۱) دو ناحیه متمایز را در این آنزیم‌ها آشکار ساخت؛ شامل یک نیمه بسیار حفاظت‌شده در پایانه N (ناحیه قبل از توالی‌های قرمزنگ) و یک نیمه کم حفاظت‌شده در پایانه C (ناحیه آغاز شده با توالی‌های قرمزنگ). همچنین هم‌ردیفی این توالی‌های پروتئینی با توالی‌های پایانه N از زیرواحدهای کوچک بتاگالاکتوزیدازهای هترودایمر جو تریانتافیلیدو و گئورگاتسوس (2001) و خرمالو کانگ و همکاران (Kang *et al.*, 1994) آشکار ساخت که توالی‌های آغازین این نیمه‌های کم زیرواحدهای کوچک با توالی‌های آغازین این نیمه‌های کم حفاظت‌شده مطابقت دارند (شکل ۱). بنابراین به‌وضوح مشخص گردید که این نیمه‌های کم حفاظت‌شده با زیرواحدهای کوچک بتاگالاکتوزیدازهای هترودایمر متضاد

دارد با این تفاوت که در مرحله Turning سطح بیان پایینی دارد. بهطور کاملاً مشابه *TBG6* و *TBG6* در هر دو رقم تنها در مراحل اولیه رشد میوه ظاهر شده‌اند و در مراحل Turning و Red-ripe هیچ بیانی را نشان نداده‌اند. *TBG7* در مرحله Turning بیان نشده و تنها با سطوح نسخه‌های بالا در مرحله Red-ripe ۱۰ dpp نیز الگویی مشابه با *TBG7* دارد با این تفاوت که علاوه بر دو مرحله ذکر شده، در مرحله Turning نیز دارای بیان می‌باشد.

مقایسه الگوهای بیان آیزوفرم‌های بتاگالاکتوزیداز در دو رقم روتگرس و فالکاتو نشان می‌دهد که آیزوفرم‌های ۲ و ۳ و شاید آیزوفرم ۱ الگوهای بیان بسیار متفاوتی را در این دو رقم دارند. در مقابل، آیزوفرم‌های ۴، ۵، ۶ و ۷ الگوهای بیان نسبتاً مشابهی را دارا هستند. ظهور الگوهای بیان مشابه در آیزوفرم‌های ۴، ۵، ۶ و ۷ دلیلی بر نقش این آیزوفرم‌ها در رشد و رسیدگی میوه می‌باشد. این فرضیه با نتایج آزمایشات صورت-گرفته روی آیزوفرم‌های *TBG1*, *TBG3*, *TBG4* و *TBG6* مطابقت دارد. آزمایش‌های سرکوب بیان ژن نشان داده‌اند که *TBG4* نقش مهمی را در ایجاد نرمی وابسته به رسیدگی میوه بازی می‌نماید /سمیت و همکاران (2002) و *TBG6* نقش مهمی در رشد و نمو اولیه میوه دارد موكتنروم و همکاران (2003). در مقابل، *TBG3* تأثیری روی نرمی و نمو میوه نداشته و سرکوبی آن تنها طول مدت انبارداری را افزایش داده است دی سیلوا و ورهوین (de Silva and Verhoeven, 1998) و سرکوبی *TBG1* نیز هیچ تأثیر قابل ملاحظه‌ای در هیچ‌بک از خصوصیات میوه نداشته است کری و همکاران (2001). بنابراین می‌توان چنین نتیجه‌گیری نمود که آیزوفرم‌های ۵ و ۷ نسبت به آیزوفرم ۲ از اهمیت و اولویت بیشتری برای انجام مطالعات سرکوبی بیان ژن در آینده برخوردارند. اگرچه نقش آیزوفرم‌های ۲، ۵ و ۷ در رشد و رسیدگی میوه گوجه‌فرنگی هنوز مورد مطالعه قرار نگرفته است اما الگوهای بیان این آیزوفرم‌ها می‌توانند بیانگر نقش احتمالی آنها باشند. در هر دو رقم فالکاتو و روتگرس، آیزوفرم‌های ۵، ۶ و ۷ در مرحله ۱۰ dpp دارای سطوح بیان بسیار بالایی می‌باشند. از این‌رو انتظار می‌رود آیزوفرم‌های ۵ و ۷ نیز مانند آیزوفرم ۶ نقش مهمی را در رشد دونمو اولیه میوه بازی نمایند. آیزوفرم ۲ برخلاف دیگر آیزوفرم‌ها که حداقل در یکی از مراحل رشدی بیان بالایی را نشان داده‌اند در هیچ‌یک از مراحل رشدی میوه فالکاتو با فراوانی بالایی بیان نشده و در رقم روتگرس نیز در تمامی مراحل رشدی پایین‌ترین سطح بیان را در میان دیگر آیزوفرم‌ها

اختلاف بزرگ در توالی پروتئینی آیزوفرم ۲ بتاگالاکتوزیدازها در دو رقم روتگرس (*TBG2*) و فالکاتو (*STBG2*) اشاره گردید. بهطور جالب توجهی بخش عمدۀ این اختلاف در محدوده این توالی‌های کوتاه حافظت‌نشده قرار می‌گیرد (شکل ۱) که نشان‌دهنده اهمیت ناچیز این نواحی است. همچنین بزرگ‌ترین شکاف در همردیفی توالی‌های پروتئینی بتاگالاکتوزیدازها (شکل ۱) در این نواحی رخ داده است که باز هم بر کم اهمیت‌بودن نقش آنها دلالت دارد.

می‌باشند و با دو باقیمانده *Trp* و *Glu* کاملاً حافظت‌شده آغاز می‌گرددند. این همردیفی همچنین آشکار ساخت که علاوه‌بر نیمه‌های بسیار حافظت‌شده در پایانه‌های N و نیمه‌های کم حافظت‌شده در پایانه‌های C، توالی‌های کوتاه حافظت‌نشده‌ای وجود دارند که در حد فاصل این نیمه‌های انتهایی N و C قرار گرفته‌اند (توالی‌های قرمزنگ). بهنظر می‌رسد این توالی‌های کوتاه حافظت‌نشده تنها به عنوان یک اتصال‌دهنده برای این نیمه‌ها عمل می‌نمایند و هیچ‌گونه عملکرد دیگری ندارند. وجود چنین اتصال‌دهنده‌ای بین نیمه‌های انتهایی N و C برای بتاگالاکتوزیدازهای باکتری و مخمر نیز پیشنهاد شده است پوچ و همکاران (Poch *et al.*, 1992). به علاوه، در بالا به یک

جدول ۳: آنالیز ساختارهای ثانویه پروتئین‌های منتج از آیزوفرم‌های *STBG2-7* توسط برنامه‌های SOPMA و PHD. حروف α و β محتوای مارپیچ α و رشته β را در نیمه بسیار حافظت‌شده پایانه C نشان می‌دهند

Table 3: Analysis of the secondary structures of the proteins resulted from *STBG2-7* by the SOPMA and PHD programs. The α and β letters show the α -helix and β -strand contents in the highly conserved N-terminal and less conserved C-terminal halves

	SOPMA				PHD			
	N-terminal α (%)	N-terminal β (%)	C-terminal α (%)	C-terminal β (%)	N-terminal α (%)	N-terminal β (%)	C-terminal α (%)	C-terminal β (%)
<i>STBG2</i>	28.1	23.8	10.2	27.6	24.4	22.8	4.5	32.8
<i>STBG3</i>	27.7	25.7	14.2	29.4	26.5	25.3	5.3	32.3
<i>STBG4</i>	27.6	24.7	9.4	33.1	24.7	22.2	4.3	39.1
<i>STBG5</i>	30.5	23.2	10.8	28.5	27	25.1	7.1	31.7
<i>STBG6</i>	28.3	24	12.3	29	27.6	23.3	2.1	38.7
<i>STBG7</i>	30.1	23.5	11.9	29.8	30.1	22.5	2.9	34.4
Average	28.7	24.1	11.4	29.5	26.7	23.5	4.3	34.8

جالب توجهی در تمامی این پروتئین‌ها نیمه‌های بسیار حافظت‌شده پایانه‌های N دارای یک نسبت تقریباً برابری از ساختارهای مارپیچ α و رشته β بودند در حالی که نیمه‌های کم حافظت‌شده پایانه‌های C محتوای رشته β بسیار بالاتری نسبت به محتوای مارپیچ α داشتند (جدول ۳). محتوای رشته β بالا در نیمه‌های انتهایی C می‌تواند چندین فاکتور انرژتیک مهم، از قبیل شکل‌گیری شبکه باندهای هیدروژنی و میانکنش‌های آب‌گریز، را در گیر نماید و در نتیجه نقشی حیاتی را در شکل‌گیری و بقای ساختار سوم و پایداری آنژیم بازی نماید فابیولا و همکاران؛ پاریزین و میجر (Fabiola *et al.*, 1997; Parisien and Major, 2007; Parisien and Major, 2007; جایگاه N-گلایکوزیلاسیون بالقوه (از کل ۲۲ جایگاه شناسایی-شده در این پروتئین‌ها) در نیمه‌های انتهایی C دوباره بر اهمیت نقش این نواحی در تاخوردگی صحیح پروتئین و پایداری آن تأکید می‌نماید تیلور و دریکامر، ورکی و همکاران (Taylor and Drickamer, 2006; Varki *et al.*, 2009) به-

طبيعت بسیار حافظت‌شده نیمه‌های انتهایی N و حضور سایت فعال آنژیم در این نواحی و همچنین شناسایی باقیمانده‌های متناظر با 195-Glu و 262-Glu در پروتئین منتج از *STBG2* به عنوان دهنده پروتون و نوکلئوفیل (پروتون STBG2- دوست) بالقوه در واکنش‌های کاتالیتیک آیزوفرم‌های 7 هنریست و همکاران (1995) این فرضیه را به وجود می‌آورند که این نیمه‌های انتهایی N عهده‌دار نقش کاتالیتیک این آنژیم‌ها هستند. در مقابل چون نیمه‌های انتهایی C کمتر حافظت شده‌اند منطقی است که فرض کنیم برخی خصوصیات اختصاصی این آنژیم‌ها، مانند اتصال به سوبستراتی خاص، مرتبط با این نواحی هستند. این فرضیه توسط خصوصیات نیمه‌های انتهایی C در بتاگالاکتوزیدازهای STBG2-7 و یافته‌های آزمایش‌های اخیر به شرح ذیل تأیید می‌گردد. بررسی ساختارهای دوم در این پروتئین‌ها آشکار ساخت که این نیمه‌های انتهایی N و C علاوه‌بر اینکه درجه حافظت‌شدگی متفاوتی دارند در ساختار دوم نیز بسیار متفاوتند. به طور

تیغی دریابی در این نیمه‌های انتهایی C تقویت می‌شود (شکل ۱). لکتین تخم جوجه‌تیغی دریابی قادر است به کربوهیدرات‌هایی مانند D-گالاكتوز و L-رامنوز متصل شود ارزیکی و همکاران، هاسونو و همکاران (Hosono *et al.*, 1991; Ozeki *et al.*, 1999) و پیشنهاد شده است که دمین‌های مشابه لکتین تخم جوجه‌تیغی دریابی نیز در اتصال به سوبستراهای کربوهیدراتی نقش دارند زنگ و لیو (Zhang and Liu 2005) آن و همکاران (2007). بعلاوه، دمین مشابه لکتین تخم جوجه‌تیغی دریابی در آیزوفرم STBG4 وجود ندارد که نشان می‌دهد این دمین برای فعالیت کاتالیتیک آنزیم ضروری نیست. بنابراین می‌توان نتیجه گرفت که حضور و یا غیبت این دمین‌ها در نیمه‌های انتهایی C تنها توانایی اتصال آنزیم را تحت تأثیر قرار می‌دهد و آن گواه دیگری برای تأیید نقش احتمالی این نواحی در میان‌کنش‌های اتصال به سوبسترا می‌باشد. براساس شواهد و مدارک فوق بسیار محتمل است که این نیمه‌های انتهایی C نقش بحرانی را هم در پایداری و هم در اتصال به سوبسترا این آنزیم‌ها بازی کنند در حالی که به نظر می‌رسد نیمه‌های انتهایی N عمدتاً در فعالیت‌های کاتالیتیک این آنزیم‌ها درگیر باشند. امکان وجود دو دمین اصلی با ساختارهای ثانویه متفاوت و خصوصیات عملکردی متفاوت در یک آنزیم بتاگالاكتوزیداز گیاهی توسط نتایج بدست آمده از طیف‌سنجی دو رنگ‌نمایی دورانی بتاگالاكتوزیداز نخود کاملاً تأیید می‌گردد دویوبیدی و همکاران (2010) که نشان می‌دهد این آنزیم دارای دمینی مشکل از ساختارهای ماربیچ α و رشته β با فعالیت کاتالیتیک می‌باشد درحالی که آن دمین دیگری را در برگرفته که غنی در محتوای رشته β و فاقد فعالیت کاتالیتیک است.

اطلاعات حاضر برای شروع دستکاری‌های ژنتیکی در نیمه‌های انتهایی C و بررسی نقش این نواحی در اتصال به سوبسترا و نفوذ این نواحی روی شدت فعالیت کاتالیتیک این آنزیم‌ها مفید می‌باشد. نتایج چنین مطالعاتی متعاقباً برای افزایش یا کاهش فعالیت این آنزیم‌ها از طریق تغییر توانایی اتصال به سوبسترا مفید خواهد بود. این تکنیک می‌تواند با انعطاف‌پذیری بالایی در کنار دیگر تکنیک‌های محدود و انعطاف‌نایابی مانند بیان سنس و آنتی‌سنس زن برای تنظیم فعالیت این آنزیم‌ها در گیاهان ترا ریخته به کار گرفته شود.

خصوص آن که تنها جایگاه N-گلایکوزیلاسیون کاملاً حفاظت-شده در این پروتئین‌ها در نیمه انتهایی C واقع شده است (شکل ۱). هم‌ردیفی توالی‌های پروتئینی (شکل ۱) همچنین آشکار نمود که در این نیمه‌های انتهایی C، سه باقیمانده Gly (در ۱۶ موقعیت)، Leu (در ۹ موقعیت) و Trp (در ۸ موقعیت) نسبت به دیگر باقیمانده‌ها بیشتر حفاظت‌شده‌اند. Trp یکی از باقیمانده‌های حفاظت‌شده در سطوح مشترک نواحی آب‌گریز می‌باشد. این اسیدآمینه در میانکنش‌های پروتئین-پروتئین شرکت نموده و همچنین نقش مهمی در پایدارسازی ساختار سوم پروتئین دارد کلاکسون و ولس؛ بوگان و تورن؛ گالیوان و Clackson and Wells, 1995; Bogan and Thorn 1998; Gallivan and Dougherty, 1999, (Samanta *et al.*, 2000). بعلاوه، ارجحیت محتوای رشته β و میان‌کنش‌های بینایینی از طریق Trp می‌تواند نقشی حیاتی را در مولتی مریزاسیون وابسته به pH آنزیم بازی نمایند که فاکتوری ضروری برای پایداری آنزیم در شرایط طبیعی است دویوبیدی و همکاران (2010). بنابراین به نظر می‌رسد که این نیمه‌های انتهایی C با محتوای رشته β ی بالا و باقیمانده‌های Trp حفاظت‌شده و جایگاه‌های N-گلایکوزیلاسیون فراوان می‌توانند نقش محوری را در تاخوردگی صحیح و پایداری این آنزیم‌ها بازی نمایند. از طرف دیگر نشان داده شده است که Trp عامل مهمی در میان‌کنش‌های پروتئین-هیدرات‌کربن است. باقیمانده‌های Trp-568 و Trp-999 در بتاگالاكتوزیداز E. coli به طور قوی به هیدرات‌کربن‌ها متصل می‌شوند. بعلاوه، جایگزینی‌ها برای Trp-999 منجر به کاهش چشم‌گیری در توانایی اتصال این آنزیم به نواحی سطحی سوبسترا شده است Huber *et al.*, 2003, (Spiwok *et al.*, 2004). آزمایش‌های مشابهی همچنین روی Gly-794 در بتاگالاكتوزیداز E. coli انجام شده است Martínez-Bilbao *et al.*, 1991) که نشان می‌دهند این باقیمانده به طور مستقیم در تشخیص سوبسترا نقش دارد. همچنین جایگزینی Gly-794 موجب تغییراتی در میان‌کنش‌های اتصال آنزیم به سوبسترا شده و عملکرد آنزیم را تحت تأثیر قرار داده است Martínez-Bilbao و همکاران (1994). بنابراین بسیار محتمل است که این نیمه‌های کم حفاظت‌شده باقیمانده‌های Gly و Trp حفاظت‌شده در تشخیص سوبسترا و میان‌کنش‌های اتصال آنزیم به سوبسترا نقش داشته باشند. این احتمال توسط ظهور دمین‌های مشابه لکتین تخم جوجه-